

С. Торайыров атындағы Павлодар мемлекеттік
университетінің ғылыми журналы
Научный журнал Павлодарского государственного
университета им. С. Торайырова

1997 жылды күршілген



ПМУ ХАБАРШЫСЫ

ВЕСТНИК ПГУ

ФИЗИКО - МАТЕМАТИЧЕСКАЯ СЕРИЯ

1 2011

2

Вестник ПГУ №1, 2011

Научный журнал Павлодарского государственного университета
им. С. Торайырова

СВІДЕТЕЛЬСТВО

о постановке на учет средства массовой информации
№ 4533-Ж

выдано Министерством культуры, информации и общественного согласия
Республики Казахстан
31 декабря 2003 года

Главный редактор:

Арын Е.М., д.э.н., профессор (главный редактор);
Тлукенов С.К., д.ф.-м.н., профессор (зам. гл. редактора);
Жукенов М.К. (отв. секретарь);

Члены редакционной коллегии:

Абдильдин М.М., д.ф.-м.н., академик НАН РК;
Бахтыбаев К.Б., д.ф.-м.н., профессор;
Данзас Н.Т., д.ф.-м.н., академик НИА РК;
Кумеков С.Е., д.ф.-м.н., профессор;
Куралбаев З., д.ф.-м.н., профессор;
Оспанов К.Н., д.ф.-м.н., профессор;
Отелбиев М.О., д.ф.-м.н., академик НАН РК;
Уалиев Г.У., д.ф.-м.н., профессор, академик НАН РК;
Айтжанова Д.Н. (тех. редактор).

За достоверность материалов и рекламы ответственность несут авторы и рекламодатели.
Мнение авторов публики

который не всегда совпадает с мнением редакции.
Редакция оставляет за собой право на отклонение материалов.
Рукописи и диски не возвращаются.

МАЗМУНЫ

A. З. Алимагамбетова	
Екінші ретті жартылай сыйкыты айрымдық тендеудің абсолютті тербелімділік белгілерінің көзегі және жеткілікті шарттары.....	6
A.P. Борисенко, Е.П. Косенко	
КР ИЯФ НЯЦында радиоактивті изотопты алу мүмкіндігі ішкі алфа-белшек шоғында ^{57}Co циклотрон болшегі.....	9
С.А. Глазырин, Н.С. Глазырина, Д.А. Имангулов, Г.А. Морозов	
Ұялы байланыстарға аппарат коргауы үшін 3DES алгоритмінің колданудың едісінің индеуі.....	17
А.Г. Горелов, Ж.К. Нурбекова	
Электрондық документ айналымының жүйелерінің колданбалы интерфейстің таңдауының белгілері.....	21
Б.Н. Горшков, А.Р. Тайлакова	
Инволюция түпкі орталыктармен Морли түпкі даузын топтары туралы.....	28
Ж.К. Нурбекова, А. Закарьянова	
WEB-окыту жүйесін модельдеуде интерактивтілікін іске асыру.....	31
В.С. Ким	
Сұсымалы заттардан көлдекен тұбті бункердің санылауынан гравитациялық кетүйін физика-математикалық үлгісі.....	37
А.В. Коныльцов, Ж.К. Нурбекова	
Криптографиялық адистердің негізінде Internet/Intranet желісінің қалыптастырылған программалық күралдардың индеуі.....	46
Е.С. Кулажметов	
Қашықтықтан оқытуды үйімдастыру үшін адам-машиналық бағдарламалардың қамтамасыз етулердің компьютерлік құрастыру ерекшеліктері.....	49
О.С. Лифанова, И.Э. Сұжыменов	
Фотосезіш элементтердің негізін алғынган тәззорлы сұзба экраны.....	57
Ж.К. Нурбекова, А.Е. Жаксылыков, Г.Т. Орекенова	
Компьютерлік тестікіудің бейнелі жүйесін азірлеу.....	64
М.Б. Рахимжанова	
Жоғары шектері айнымалыдан тәуелді операторлар үшін ұшсалмакты жалпыланған Харди тенсіздігі.....	70
С.К. Тлукенов, М.К. Жукенов, Ж. Бектемиров	
Изотопты жартылай көністік полі магнит электролік коэффициенті бар анизотропты органы белетін шекарада электромагниттік толқындардың шағылу мән сыну кезіндегі энергия ағындарының аналитикалық ерекшеліктері.....	73
Ж.Е. Садыкова, А.М. Арингазинова	
Маліметтер көрінешін басқару жүйесінің сингізу тенденциясы және интеграциясы	80
Білдің авторлар.....	88
Авторлар үшін ереже.....	90

СОДЕРЖАНИЕ

A. З. Алимагамбетова

Необходимые и достаточные условия абсолютной осцилляторности полулинейного разностного уравнения второго порядка 6

A.P. Борисенко, Е.П. КосенкоВозможности получения радиоактивного изотопа ^{57}Co на внутреннем пучке альфа-частиц циклотрона У-150М в ИЯФ НЯЦ РК 9**С.А. Глазырин, Н.С. Глазырина, Д.А. Имангулов, Г.А. Морозов**

Разработка метода использования алгоритма 3DES для защиты информации в мобильной связи 17

А.Г. Горелов, Ж.К. Нурбекова

Критерии выбора пользовательского интерфейса систем электронного документооборота 21

Б.Н. Горшков, А.Р. Тайлакова

О группах конечного ранга Морли с конечным централизатором инволюции 28

Ж.К. Нурбекова, А. Закарьянова

Реализация интерактивности в моделировании WEB -системы обучения 31

В.С. Ким

Физико-математическая модель гравитационного истечения сыпучих материалов через отверстие на горизонтальном дне бункера 37

А.В. Коныльцов, Ж.К. Нурбекова

Разработка программного средства поддержания безопасности сети Internet/Intranet на основе криптографических методов 46

Е.С. Кулажметов

Особенности компьютерной реализации программных обеспечений человеко-машинного взаимодействия для организации дистанционного обучения 49

О.С. Лифанова, И.Э. Сұжыменов

Тәззорнан схема экрана на основе фоточувствительных элементов 57

Ж.К. Нурбекова, А.Е. Жаксылыков, Г.Т. Орекенова

Разработка адаптивной системы компьютерного тестирования 64

М.Б. Рахимжанова

Трехвесовое обобщенное неравенство Харди для операторов с верхними переменными пределами интегрирования 70

С.К. Тлукенов, М.К. Жукенов, Ж. Бектемиров

Анализ энергетических коэффициентов отражения и преломления при отражении электромагнитных волн на границе изотропной среды и анизотропной среды с магнитоэлектрическим эффектом 73

Ж.Е. Садыкова, А.М. Арингазинова

Интеграция и тенденции внедрения систем управления базами данных 80

Наши авторы

Правила для авторов 88

CONTENT

A.Z. Alimagambetova

Necessary and sufficient conditions of absolute oscillation of half-linear second order difference equation 6

*A.R. Borisenco, E.P. Kosenko*The possibility of obtaining the radioactive isotope ^{57}CO in the internal beam of alpha particles of the cyclotron U-150M at the INP of the RK NNC (Institute of Nuclear Physics of the Republic of Kazakhstan National Nuclear Center) 9*S. Glazyrin, N. Glazyrina, D. Imangulov, G. Morozov*

Working out of the method of use of algorithm 3DES for information protection in mobile communication 17

A.G. Gorelov, Zh.K. Nurbekova

Criteria for selection of the user interface of the electronic document 21

B.N. Gorskikh, A.R. Taliakova

On groups of finite Morley rank with finite centralizer of an involution 28

Zh.K. Nurbekova, A.B. Zakaryanova

Interactivity realization in modelling WEB – training systems 31

V.S. Kim

Physical and mathematical model of bulk solids gravitational effluence through the aperture on the horizontal bottom of bunker 37

A.V. Kopyltsov, Zh.K. Nurbekova

Development of software tools to maintain Internet /Intranet network security based on cryptographic techniques 46

Y.S. Kulakhetov

Features of the software computer realization of human-computer interaction for a distance learning organization 49

O.S. Lisanova, I.E. Suleimenov

The tensor scheme of the screen on the basis of photosensitive elements 57

Zh.K. Nurbekova, A.E. Zhaksylykov, G.T. Orekenova

The development of computer adaptive testing 64

M.B. Rakhimzhanova

Hard's Three-weight generalized inequality for operators with the top variable limits of integration 70

S.K. Tleukenov, M.K. Zhukenov, Zh. Bektemirov

Analysis of energy reflection and refraction coefficients in reflection of electromagnetic waves at the boundary of an isotropic medium and an isotropic medium with magnetoelectric effect 73

Z.E. Sadykova, A.M. Aringazinova

Integration and trends in the implementation of database management systems 80

Our authors 88

Rules for authors 90

ЛИТЕРАТУРА

- Ойнаров Р., Об одном трехвесовом обобщении неравенства Харди. Мат., заметки. 1993. том 54.
- Степанов В.Д., Ушакова Е.П. Об интегральных операторах с переменными пределами интегрирования, Труды математического института РАН им.В.А.Стеклова, т.232, 2001.

Түріндеме

Осы жұмыста $\|Pf\|_r \leq C(\|pf\|_r + \|Kf\|_r)$ жазылған ушалмақты Харди теңсіздігі қарастырылған. Мұндағы $Pf(x)$ пен $Kf(x)$ интегралдық Харди операторларының жөндері шектері айнымалыдан тоғелді. Аз $Kf(x)$ интегралдық операторының $K(x,t) \geq 0$ ($a < t \leq s \leq x < b$) ядросына $K(x,\psi(s)) \leq dK(x,\psi(t))$, шартты қойылған. (туралы $d \geq 1$ t,s,x -тен тоғелсіз).

Résumé

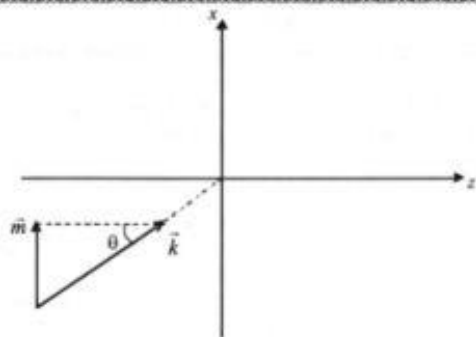
In the given work Hardy generalized three-weight inequality is examined: $\|Pf\|_r \leq C(\|pf\|_r + \|Kf\|_r)$. And integrated operators Hardy $Pf(x)$ and $Kf(x)$ are set with variable top limits of integration, where in integrated operator $Kf(x)$ on nucleus $K(x,t) \geq 0$ satisfying at ($a < t \leq s \leq x < b$) the condition is imposed: $K(x,\psi(s)) \leq dK(x,\psi(t))$. (the constant $d \geq 1$ does not depend from t, s, x).

УДК 530.145

**АНАЛИЗ ЭНЕРГЕТИЧЕСКИХ КОЭФФИЦИЕНТОВ
ОТРАЖЕНИЯ И ПРЕЛОМЛЕНИЯ ПРИ ОТРАЖЕНИИ
ЭЛЕКТРОМАГНИТНЫХ ВОЛН НА ГРАНИЦЕ
ИЗОТРОПНОЙ СРЕДЫ И АНИЗОТРОПНОЙ СРЕДЫ С
МАГНИТОЭЛЕКТРИЧЕСКИМ ЭФФЕКТОМ**

С.К. ТлеукеновЕвразийский национальный университет
им. Л. Гумилева, г. Астана**М.К. Жукенов, Ж. Бектемиров**Павлодарский государственный университет
им. С. Торайгырова

Пусть границей раздела сред является плоскость $z=0$. Анизотропную среду ориентируем таким образом, чтобы оси декартовой системы координат совпадали с соответствующими кристаллографическими осями.



$$m^2 = \omega^2 \epsilon \epsilon_0 \mu \mu_0 \sin^2 \theta$$

Отражение и преломление волн в случае падение на границу двух сред электромагнитной ТЕ волны.

Пусть на границу раздела из изотропной среды падает электромагнитная ТЕ волна, то есть вектор напряженности магнитного поля лежит в плоскости падения.

Матрицы коэффициентов изотропной среды и анизотропной среды с магнитоэлектрическим эффектом запишем как:

$$\hat{B}_1 = \begin{pmatrix} 0 & a_{12} & 0 & 0 \\ a_{21} & 0 & 0 & 0 \\ 0 & 0 & 0 & a_{34} \\ 0 & 0 & a_{43} & 0 \end{pmatrix}, \quad \hat{B}_2 = \begin{pmatrix} 0 & b_{12} & 0 & b_{14} \\ b_{21} & 0 & b_{23} & 0 \\ 0 & -b_{14} & 0 & b_{34} \\ -b_{23} & 0 & a_{43} & 0 \end{pmatrix} \quad (1)$$

z -ые компоненты волновых векторов будут иметь вид:

$$k_1 = \sqrt{-a_{12}a_{21}}, \quad \chi_1 = \sqrt{-a_{34}a_{43}}, \quad (2)$$

$$\Delta_1 = -b_{12}b_{21} - b_{34}b_{43} + 2b_{14}b_{23},$$

$$\Delta_2 = (b_{12}b_{21} - b_{34}b_{43})^2 - 4(b_{14}b_{21} + b_{23}b_{34})(b_{12}b_{23} + b_{14}b_{43}) \quad (3)$$

$$\left. \begin{aligned} k_z^2 \\ \chi_z^2 \end{aligned} \right\} = \frac{1}{2} \left(\chi_1 \mp \sqrt{\Delta_2} \right) \quad (4)$$

$$\text{Если } \left(\Delta_2 < 0 \& \operatorname{Im} \left[\sqrt{\frac{1}{2} (\chi_1 - \sqrt{\Delta_2})} \right] < 0 \right) \Rightarrow k_z = \sqrt{\frac{1}{2} (\chi_1 - \sqrt{\Delta_2})}$$

$$\text{Если } \left(\Delta_2 < 0 \& \operatorname{Im} \left[\sqrt{\frac{1}{2} (\chi_1 - \sqrt{\Delta_2})} \right] > 0 \right) \Rightarrow k_z = -\sqrt{\frac{1}{2} (\chi_1 - \sqrt{\Delta_2})}$$

$$\text{Если } \left(\frac{1}{2} (\chi_1 - \sqrt{\Delta_2}) \right) < 0 \Rightarrow k_z = -\sqrt{\frac{1}{2} (\chi_1 - \sqrt{\Delta_2})}$$

$$\text{Если } \left(\frac{1}{2} (\chi_1 - \sqrt{\Delta_2}) \right) \geq 0 \Rightarrow k_z = \sqrt{\frac{1}{2} (\chi_1 - \sqrt{\Delta_2})}$$

$$\text{Если } \left(\Delta_2 < 0 \& \operatorname{Im} \left[\sqrt{\frac{1}{2} (\chi_1 - \sqrt{\Delta_2})} \right] < 0 \right) \Rightarrow \chi_2 = \sqrt{\frac{1}{2} (\chi_1 + \sqrt{\Delta_2})}$$

$$\text{Если } \left(\Delta_2 < 0 \& \operatorname{Im} \left[\sqrt{\frac{1}{2} (\chi_1 - \sqrt{\Delta_2})} \right] > 0 \right) \Rightarrow \chi_2 = -\sqrt{\frac{1}{2} (\chi_1 + \sqrt{\Delta_2})}$$

$$\text{Если } \left(\frac{1}{2} (\chi_1 - \sqrt{\Delta_2}) \right) < 0 \Rightarrow k_z = -\sqrt{\frac{1}{2} (\chi_1 - \sqrt{\Delta_2})}$$

$$\text{Если } \left(\frac{1}{2} (\chi_1 - \sqrt{\Delta_2}) \right) \geq 0 \Rightarrow k_z = \sqrt{\frac{1}{2} (\chi_1 - \sqrt{\Delta_2})}$$

Вектор столбец имеет вид: $(E, H, H, E_z) \Rightarrow \vec{U}_p = (E_0 H_0 00)$

Матрицант изотропной среды можно записать в виде:

$$\hat{T}_1^\pm = \frac{1}{2} \begin{pmatrix} 1 & \pm \frac{ia_{12}}{k_1} & 0 & 0 \\ \pm \frac{ia_{21}}{k_1} & 1 & 0 & 0 \\ 0 & 0 & 0 & 0 \\ 0 & 0 & 0 & 0 \end{pmatrix} e^{\pm k_1 z} + \frac{1}{2} \begin{pmatrix} 0 & 0 & 0 & 0 \\ 0 & 0 & 0 & 0 \\ 0 & 0 & 1 & \pm \frac{ia_{34}}{\chi_1} \\ 0 & 0 & \pm \frac{ia_{43}}{\chi_1} & 1 \end{pmatrix} e^{\mp k_1 z} \quad (5)$$

Из условия $\hat{T}_1^+ (0) \vec{U}_0 = \vec{U}_0$:

$$H_0 = -\frac{ik_1}{a_{12}} E_0, \quad H_0 = \frac{ia_{34}}{k_1} E_0 \quad (6)$$

Матрицант второй среды запишем как:

$$\hat{T}_2^+ = \frac{1}{2} \frac{1}{\chi_2^2 - k_1^2} [\hat{F} e^{-k_2 z} - \hat{V} e^{-\chi_2 z}] \quad (7)$$

Здесь

$$\hat{F} = (\hat{B}_2^2 + \chi_2^2 \hat{E}) - \frac{i}{k_2} (\hat{B}_2^3 + \chi_2^2 \hat{B}_2) \quad (8)$$

$$\hat{V} = (\hat{B}_2^2 + k_2^2 \hat{E}) - \frac{i}{\chi_2} (\hat{B}_2^3 + k_2^2 \hat{B}_2) \quad (9)$$

Тогда

$$\hat{T}_2^+ (0) = \frac{1}{2} \left[\hat{E} \pm \frac{i}{k_2 \chi_2 (k_2 + \chi_2)} \hat{R}_2 \right] \quad (10)$$

Согласно (3.1.7) \hat{G} определим как

$$\hat{G} = (\hat{R}_3 + \hat{R}_4)(\hat{R}_3 - \hat{R}_4) \quad (11)$$

здесь

$$\hat{R}_3 = \hat{T}_i^*(0) - \frac{1}{2}\hat{E} \quad (12)$$

$$\hat{R}_4 = \frac{i}{k_1 \chi_2 (k_2 + \chi_2)} \hat{R}_2 \quad (13)$$

Для данных \hat{B}_1 и \hat{B}_2 :

$$\hat{G} = \begin{pmatrix} g_{11} & 0 & g_{13} & 0 \\ 0 & g_{22} & 0 & g_{24} \\ g_{31} & 0 & g_{33} & 0 \\ 0 & g_{42} & 0 & g_{44} \end{pmatrix} \quad (14)$$

Зная \vec{U}_0 и \hat{G} найдем \vec{U}_x и \vec{U}_z :

$$\vec{U}_x = \hat{G} \vec{U}_0 = \begin{pmatrix} g_{11} \\ \frac{ia_{21}}{k_1} g_{22} \\ g_{31} \\ \frac{ia_{21}}{k_1} g_{42} \end{pmatrix} \quad \vec{U}_z = (\hat{E} + \hat{G}) \vec{U}_0 = \begin{pmatrix} 1 + g_{11} \\ \frac{ia_{21}}{k_1} (1 + g_{22}) \\ g_{31} \\ \frac{ia_{21}}{k_1} g_{42} \end{pmatrix} \quad (15)$$

Таким образом, матрицы среды и матрица \hat{G} позволяют записать в явном виде поля падающей, отраженной и преломленной электромагнитных волн:

$$\begin{cases} E_y^{imp} = \frac{1}{2}(g_{11} - g_{22})e^{ik_z z} \\ H_x^{imp} = -\frac{ia_{21}}{k_1} \frac{1}{2}(g_{11} - g_{22})e^{ik_z z} \\ E_y^{ref} = e^{-ik_z z} \\ H_x^{ref} = \frac{ia_{21}}{k_1} e^{-ik_z z} \end{cases} \quad \begin{cases} H_z^{imp} = \frac{1}{2} \left(g_{31} + \frac{a_{21}a_{34}}{k_1 \chi_1} g_{42} \right) e^{ik_z z} \\ E_z^{imp} = \frac{1}{2} \left(\frac{ia_{21}}{k_1} g_{42} - \frac{ia_{41}}{\chi_1} g_{31} \right) e^{ik_z z} \end{cases} \quad (16)$$

$$\begin{pmatrix} E_y^{sp} \\ H_x^{sp} \\ H_y^{sp} \\ E_y^{sp} \end{pmatrix} = T_i^* \vec{W}_T \quad (17)$$

Поток электромагнитной энергии вычисляется по формуле Умова-Пойтинга

$$S = [EH] \quad (18)$$

Z -вая компонента плотности потока электромагнитной энергии:

$$S_z = H_y E_z - E_y H_z \quad (19)$$

Таким образом, энергетический коэффициент отражения имеет вид:

$$\frac{\bar{S}_z^{ref}}{\bar{S}_z^{tot}} = \frac{\operatorname{Re} \left[\left(g_{31} + \frac{a_{21}a_{34}}{k_1 \chi_1} \right) \frac{ia_{21}}{k_1} g_{42} - \frac{ia_{41}}{\chi_1} g_{31} \right] + \frac{ia_{21}}{k_1} \frac{1}{2} (g_{11} - g_{22})(g_{11} - g_{22})}{4 \operatorname{Re} \left[\frac{ia_{21}}{k_1} \right]} \quad (20)$$

Записав поле преломленных волн как:

$$\begin{pmatrix} Y_1 \\ Y_2 \\ Y_3 \\ Y_4 \end{pmatrix} = \hat{T}_i^*(0) \vec{Y}_i \quad (21)$$

Получим энергетический коэффициент преломления:

$$\frac{\bar{S}_z^{sp}}{\bar{S}_z^{tot}} = \frac{\operatorname{Re} \left[\gamma_4' - \gamma_1 \gamma_2' \right]}{\operatorname{Re} \left[\frac{ia_{21}}{k_1} \right]} \quad (22)$$

Отражение и преломление волн при падении на границу двух сред электромагнитной ТМ волны.

Аналогично получим энергетические коэффициенты отражения и преломления, если на границу раздела из изотропной среды падает электромагнитная ТМ волна.

В этом случае вектор столбец имеет вид:

$$(E_y H_z H_x E_z) \Rightarrow \vec{W}_0 = (00H_0 E_0) \quad (23)$$

Из условия $\hat{T}_i^*(0) \vec{W}_0 = \vec{W}_0$

$$H_0 = \frac{ia_{34}}{\chi_1} E_0 \quad H_0 = -\frac{ia_{41}}{\chi_1} E_0 \quad (24)$$

Зная \hat{U}_s и \hat{G} найдем \hat{U}_s и \hat{U}_r :

$$\hat{U}_s = \hat{G} \hat{U}_p = \begin{pmatrix} \frac{ia_{34}}{\chi_1} g_{13} \\ g_{24} \\ \frac{ia_{34}}{\chi_1} g_{33} \\ g_{44} \end{pmatrix} \quad \hat{U}_r = (\hat{E} + \hat{G}) \hat{Y}_p = \begin{pmatrix} \frac{ia_{34}}{\chi_1} g_{13} \\ g_{24} \\ \frac{ia_{34}}{\chi_1} (1 + g_{33}) \\ 1 + g_{44} \end{pmatrix} \quad (25)$$

Таким образом, явный вид полей падающей, отраженной и преломленной электромагнитных волн:

$$\begin{cases} E_x^{imp} = \frac{1}{2} \left(\frac{ia_{34}}{\chi_1} g_{13} - \frac{ia_{12}}{k_1} g_{24} \right) e^{ik_1 z} \\ H_z^{imp} = \frac{1}{2} \left(\frac{a_{23} a_{34}}{k_1 \chi_1} g_{13} + g_{24} \right) e^{ik_1 z} \\ H_y^{imp} = \frac{1}{2} \frac{ia_{34}}{\chi_1} (g_{13} - g_{44}) e^{ik_1 z} \\ E_z^{ref} = e^{-ik_1 z} \\ E_x^{ref} = e^{-ik_1 z} \end{cases} \quad (26)$$

$$\tilde{W}^{sp} = T_2 \tilde{W}_r \quad (27)$$

Тогда энергетический коэффициент отражения определяется как

$$\frac{\bar{S}_r^{sp}}{\bar{S}_e^{ref}} = \frac{\operatorname{Re} \left[\frac{ia_{34}}{\chi_1} (g_{13} - g_{44})(g_{44} - g_{13}) \right] - \left(\frac{ia_{34}}{\chi_1} g_{13} - \frac{ia_{12}}{k_1} g_{24} \right) \left(\frac{a_{23} a_{34}}{k_1 \chi_1} g_{13} + g_{24} \right)}{4 \operatorname{Re} \left[\frac{ia_{34}}{\chi_1} \right]} \quad (28)$$

Записав поле преломленных волн как:

$$\begin{pmatrix} Y_1 \\ Y_2 \\ Y_3 \\ Y_4 \end{pmatrix} = \hat{T}_2^* (0) \tilde{W}_r \quad (29)$$

Получим энергетический коэффициент преломления:

$$\frac{\bar{S}_e^{sp}}{\bar{S}_e^{ref}} = \frac{\operatorname{Re} [Y_3 Y_4^* - Y_1 Y_2^*]}{\operatorname{Re} \left[\frac{ia_{34}}{\chi_1} \right]} \quad (30)$$

ЛИТЕРАТУРА

- Ландау Л.Д., Лифшиц Е.М. Электродинамика сплошных сред. - М.: Наука, 1982.

- Вайнштейн Б.К. Современная кристаллография. Т.4. - Наука, 1979.
- Тлеукенов С.К., Оспанов А.Т. Изучение электромагнитных полей в анизотропных средах. - Алматы: Наука, 1985. - 176 с.
- Тлеукенов С.К. О характеристической матрице периодически неоднородного слоя. В кн.: Математические вопросы теории распространения волн. - Ленинград: Зап. научн. семин. ЛОМИ, 1987. - Т.165. - С. 177-181.
- Тлеукенов С.К., Метод матрицанта. - Павлодар: НИЦ ПГУ им. С. Торайгырова, 2004. - 148с.
- Байгонысов О., Тлеукенов С.К. О методе решения некоторых задач распространения упругих волн при наличии периодической неоднородности. - Ленинград: Зап. научн. сем. ЛОМИ АН СССР, - 1985 Т. 148. - С.30-33.
- Тлеукенов С.К. О характеристической матрице периодически неоднородного слоя. В кн.: Математические вопросы теории распространения волн. - Ленинград: Зап. научн. семин. ЛОМИ, 1987. - Т.165. - С. 177-181.
- Tleykenov S. The structure of propagator matrix and its application in the case of the periodical inhomogeneous media. Abstr. Semin. on Earthquake processes and their consequences Seismological investigations. 1989. - Kurukshetra, India. - P. 4.
- Tleykenov S. Investigation of the thin layer influence of the boundary conditions. Abstracts «Seminar on eastsquare processe and their consequences». - Kurukshetra, India, 1989.

- Тлеукенов С.К., Жукенов М.К. Решение задачи отражения и преломления электромагнитных волн на границе изотропного диэлектрика и анизотропного диэлектрика с магнетоэлектрическим эффектом методом матрицанта. - Вестник ПГУ, сер. физ.-мат. - 2009. №2.

Түйіндеме

Жұмыста изотропты жартылай кеңістік пен магнетоэлектрлік коэффициенті бар анизотропты ортанды болетін шекарада электромагниттік толқындардың шагылу мен сыну кезіндегі энергия ағындарының аналитикалық орнектері қарастырылады. Екі ортанды шекарасына электромагниттік TE және TM толқын түскен жағдайларды шагылу және сыну энергиялық коэффициенттерін анықталды.

Resume

In work analytical formulas of calculation of streams of energy are considered at reflection and refraction of electromagnetic waves on border of section of isotropic semispace and the anisotropic environment by magnetoelectric effect. Power factors of reflection and refraction if on border of section from the isotropic environment electromagnetic TE and TM waves are received.